

Studying and Calculating the Radiation Damage Caused by the Solar Radiation Spectrum in the Crystal Structure of Semiconductor Components

A. Esmaeilian¹, S. A. H Feghhi^{2*}, H. Jafari³, A. Pahlavan⁴

1, 4- Department of Physics, Science and Research Islamic Azad University Mazandaran Branch

2,3- Department of Radiation Application, Shahid Beheshti University

*Velenjak, Tehran, IRAN

[a_feghhi @sbu.ac.ir](mailto:a_feghhi@sbu.ac.ir)

Space radiation environment has concerned about proper performance of electronic systems and equipment used in the space due to a variety of space radiations. The radiation hardening techniques are required to all parts of the system in such environment. Therefore careful studies should be done on the mechanism of radiation damage in these systems. Shielding is one of radiation hardening technique. The radiation effects on electronic components can be done using radiation simulating softwares. In this work, displacement damage, vacancies and ionization values in silicon and gallium arsenide with layers of metal as a shield have been calculated using TRIM software. The results showed that the more thickness and more elements with high atomic number of shield made more resistance to radiation. Thus, damage in electronic devices would be less. Also, the damages resulted from the incident beam of helium ions is much higher than that of hydrogen ions.

Keyword: Radiation damage, Displacement of atoms, TRIM, Ionization, Semiconductor component

1. M. Sc.
2. Assistante Professor (Corresponding Author)
3. M. Sc.
4. Assistant Professor

بررسی و محاسبه آسیب پرتویی ناشی از طیف پرتوهای خورشیدی بر ساختار کریستالی قطعات نیمه‌هادی

ابوالفضل اسماعیلیان^۱، سید امیرحسین فقیهی^{۲*}، حمید جعفری^۳ و علی پهلوان^۴

۱ و ۴- دانشکده فیزیک، دانشگاه علوم و تحقیقات مازندران

۲ و ۳- گروه کاربرد پرتوها، دانشکده مهندسی هسته‌ای، دانشگاه شهید بهشتی

* تهران، ولنجک

a_feghhi @sbu.ac.ir

محیط فضایی به علت وجود گستره وسیعی از تشکیلات فضایی نگرانی‌هایی را در کارکرد صحیح سیستم‌های الکترونیکی و تجهیزات مورد استفاده در فضا ایجاد کرده است. بنابراین با توجه به حساسیتی که این قطعات به تشکیلات دارند، برای تمام قطعات این سیستم‌ها یا در مرحله ساخت یا در فاز طراحی، نکات و تکنیک‌های مقاومسازی در برابر اثرات تابشی صورت می‌گیرد که نیازمند مطالعات دقیق در زمینه ساز و کار آسیب در این سیستم‌هاست. یکی از تکنیک‌های مقاومسازی ایجاد حفاظت روی قطعات الکترونیکی و بررسی اثرات تابشی روی آن با استفاده از نرم‌افزارهایی است که قادر به شبیه‌سازی آسیب است. در این مقاله با استفاده از نرم‌افزار TRIM مقدار آسیب جایه‌جایی، تهمی جا، برخوردۀای جایگزین و یونیزاسیون به وجود آمده در قطعات الکترونیکی گالیوم آرسنید و سیلیکونی و همچنین همراه با لایه‌ای از فلزات به عنوان حفاظت محاسبه و بررسی شده‌اند. نتایج خروجی نشان می‌دهد که هر چه حفاظتها خصامت بیشتر داشته باشند و متشکل از تعداد عناصر بیشتر با عدد اتمی بالا باشند، مقاومت آنها در برابر پرتوهای تابشی بیشتر می‌شود و آسیب‌های به وجود آمده در قطعات الکترونیکی کمتر خواهد بود. همچنین آسیب‌های حاصل از پرتوهای فرودی یون‌های هلیم بسیار بیشتر از یون‌های هیدروژن است.

واژه‌های کلیدی: آسیب پرتویی، جایه‌جایی اتم‌ها، نرم‌افزار TRIM، یونیزاسیون، قطعات نیمه‌هادی

پارامترهای وابسته به آسیب پرتویی در مواد یکی از مهم‌ترین بخش‌های طراحی و مقاومسازی مواد در محیط‌های تابشی است. اطلاع از تغییرات ایجاد شده بر اثر تابش می‌تواند موجب پیشرفت در طراحی سیستم‌های تابشی و انتخاب مناسب مواد به کار رفته در ساختارهای تشکیل‌دهنده شود. تابش در هر یک از این محیط‌های تابشی می‌تواند به صورت پرتوهای گاما، ایکس، الکترون، پروتون، نوترون، یون‌های سبک و سنگین و پالس‌های الکترومغناطیس یا ترکیبی از این‌ها باشد. ذرات موجود در محیط تابش فضایی شامل ذرات به دام افتاده در میدان مغناطیسی زمین (عمدتاً الکترون‌ها و پروتون‌ها)، پرتوهای کیهانی کهکشانی و

مقدمه

محیط‌های تابشی مختلف وجود دارد که عملکرد مواد را تحت تأثیر قرار می‌دهند. این محیط‌ها شامل راکتورهای شکافت، راکتورهای گداخت، انبارهای ذخیره پس‌ماندهای هسته‌ای، شتاب‌دهنده‌های ذرات، آزمایشگاه‌های فیزیک ذرات، بعضی سیستم‌های تاکتیکی نظامی و فضای بین سیاره‌ای یا مگنتوسفر هستند. بررسی

۱. کارشناس ارشد

۲. دانشیار (نویسنده مخاطب)

۳. کارشناس ارشد

۴. استادیار

می‌تواند انواع مختلفی از آسیب شامل، توزیع یون و محاسبه سریع از آسیب، جزئیات محاسبات با آبشار آسیب کامل، مراحل برخورد تک‌لایه، محاسبه سطح بیرون‌اندازی، آبشار نوترون، الکترون و فوتون، انرژی مختلف یون‌ها، زاویه و موقعیت، و نهایتاً آسیب‌های ویژه اهداف چند لایه زیستی را انجام دهد [۸].

در یک شاراۀ خورشیدی پروتون‌های پرانرژی، ذرات آلفا و یون‌های سنگین گسیل می‌شوند. در اکثر شاراۀ‌های خورشیدی، ذرات گسیل شده شامل پروتون‌ها ۹۰ تا ۹۵ درصد) و ذرات آلفا هستند. یون‌های سنگین تنها کسر کوچکی از ذرات گسیل شده را تشکیل می‌دهند. تعداد یون‌های سنگین در این رویدادها معمولاً در مقایسه با چگالی زمینه یون‌های سنگین از پرتوهای کیهانی کهکشانی، اهمیت کمتری دارند. در یک شاراۀ خورشیدی بزرگ تعداد پروتون‌ها و ذرات آلفا می‌تواند 10^4 بار بیشتر از طیف پرتوهای کیهانی کهکشانی زمینه باشد. بنابراین در این کار طیف پروتون‌ها (هسته هیدروژن) و ذرات آلفا (هسته هلیم) برای بررسی آسیب‌های پرتویی، مورد بررسی قرار گرفته‌اند.

سیلیکون یکی از پرکاربردترین مواد به کاررفته در نیمه‌رساناهای الکترونیکی است. گالیوم آرسنید نیز یک نیمه‌رسانای مهم است که در IC‌ها به کار می‌رود. مدارهایی که از این ترکیب ساخته شده‌اند، نسبت به نوع سیلیکونی بسیار سریع‌تر و الیه گرانتر هستند. گالیوم آرسنید می‌تواند در دیودهای لیزری و LED‌ها برای تبدیل مستقیم الکتریسیته به نور به کار رود.

پرتوهای ورودی یون‌های هیدروژن و هلیم که درصد بیشتری از پرتوهای خورشیدی را تشکیل می‌دهند با انرژی‌های مختلف موجود در طیف پرتوهای خورشیدی (از ۱۰۰ کیلوالکترون ولت تا ۴۰۰ مگا الکترون ولت)، در مرحله اول به قطعات نیمه‌هادی گالیوم آرسنید و سیلیکون با ضخامت ثابت ۲ میکرومتر به طور عمود تابیده می‌شوند. مقدار آسیب‌های جابه‌جایی، تهی جا، برخوردهای جایگزین و یونیزاسیون ناشی از یون‌ها و پس‌زده شده محاسبه می‌شوند. در مرحله بعد لایه از فلزات شامل آلمینیوم، تانتالیوم پتتوکسید و آلیاژ ۳۳۰ به عنوان حفاظت به لایه نیمه‌هادی اضافه می‌شود و محاسبات آسیب پرتویی برای ضخامت‌های حفاظتها از ۱۰۰ میکرومتر تا ۳۰۰ میلی‌متر تکرار می‌شود.

نتایج

شکل‌های (۱) و (۲) نشان‌دهنده آسیب جابه‌جایی و تهی جا ناشی از پرتوهای ورودی یون هیدروژن و هلیم در نیمه‌های سیلیکونی و گالیوم آرسنید هستند. آسیب‌ها ناشی از یون هیدروژن چه در قطعه الکترونیکی سیلیکون و چه در قطعه الکترونیکی گالیوم آرسنید از آسیب جابه‌جایی و تهی جا ناشی از پرتوی ورودی یون هلیم کمتر

رویدادهای ذرات خورشیدی است. از جمله مواد تشکیل‌دهنده این سیستم‌ها، قطعات الکترونیکی و نیمه‌هادی‌هایی از جنس سیلیکون و یا گالیوم آرسنید است. مثال‌هایی از این سیستم‌ها، سیستم‌های الکترونیکی به کار رفته در فضاپیماها، ماهواره‌ها، هوایپیماهایی که در ارتفاع بالا پرواز می‌کنند و آشکارسازهای مورد استفاده در شتاب‌دهنده‌های ذرات پر انرژی هستند.

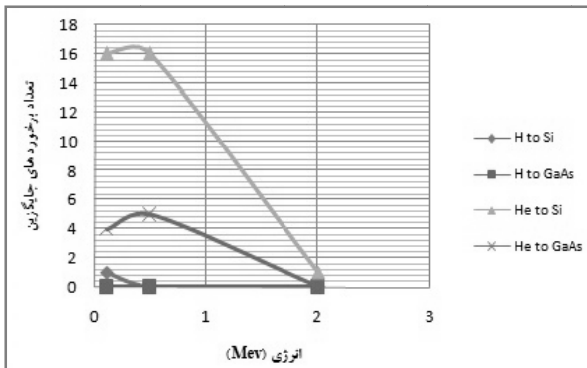
اثر اصلی تابش بر قطعات الکترونیکی، ایجاد تهی جای شبکه و اتم‌های درون شبکه‌ای در بلورهای کامل است. این عوامل باعث کاهش چگالی و تغییر خواص پلاستیکی فلزات به اندازه قابل توجهی می‌شود. بهطورکلی تابش می‌تواند باعث ازدست‌رفتن خواص پلاستیکی و شکل‌پذیری و افزایش خواص سختی شود. در پی اندرکش‌های پرتوها با مواد، تعییراتی در خواص ذاتی مواد مانند خواص مکانیکی، رسانایی، ساختار بلوری، مشخصات پیوند اتمی، دمای ذوب، خواص مغناطیسی و حتی رنگ مواد نیز رخ می‌دهد. اثرات در برخی موارد گنرا و در برخی حالات با توجه به نوع اندرکش و انرژی پرتوها و حساسیت و مقاومت مواد دائمی خواهد بود [۱].

اثرات تک اتفاقی، دز یونیزان کل و آسیب جابه‌جایی از مهم‌ترین آسیب‌های پرتویی هستند [۲-۷]. با استفاده از نرم‌افزارهای محاسباتی ترابرد پرتوها می‌توان آسیب‌های جابه‌جایی، تهی جا، یونیزاسیون کل و برخوردهای جایگزین را در قطعات الکترونیکی و همچنین مواد فلزی که برای حفاظت به کار می‌روند، شیبه‌سازی و محاسبه کرد. در این کار آسیب‌های نامبرده شده در ابتدا بهطور جداگانه قطعات الکترونیکی شامل سیلیکون و گالیوم آرسنید بررسی می‌شوند و سپس لایه‌ای از فلزات شامل آلمینیوم، آلیاژ ۳۳۰ و تانتالیوم پتتوکسید به عنوان حفاظت به این قطعات اضافه می‌شوند و سپس اثرات آسیب پرتویی با استفاده از نرم‌افزار ترابرد پرتویی TRIM محاسبه و تحلیل می‌شود.

روش کار

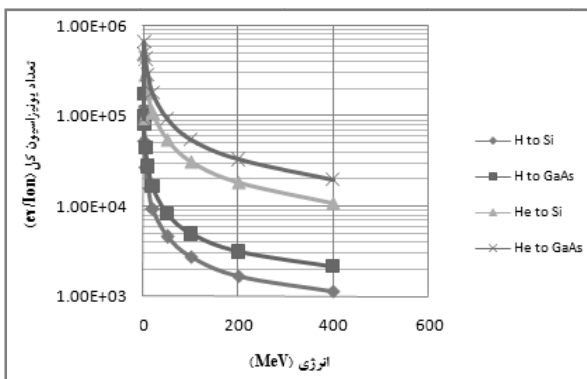
نرم‌افزار TRIM بهمنظور ترابرد پرتویی از برخورد یک پرتوی فرودی در ماده هدف، طراحی شده است. این نرم‌افزار قادر به تعیین ویژگی برخورد بین پرتایه (یون‌ها یا اتم‌ها) با اتم‌های هدف است. ورودی‌های TRIM نوع، انرژی، موقعیت‌های مختلف یون‌های فرودی، هدف و دیگر پارامترها را شامل می‌شود. با استفاده از این نرم‌افزار می‌توان مقادیر تهی جا، آسیب جابه‌جایی، برخوردهای جایگزین^۵، یونیزاسیون کل ناشی از یون‌ها و پس‌زده شده‌ها و ... را محاسبه کرد. این نرم‌افزار قابلیت نشان‌دادن نمودارها و مقادیر عددی آسیب را، به صورت سه بعدی نیز دارد. همچنین TRIM

الکترون ولت برخورد جایگزین داریم و در پرتوی ورودی یون هلیم از ۲ مگا الکترون ولت به بالا صفر می‌شود.



شکل ۳- برخوردهای جایگزین ناشی از پرتوی ورودی یون هیدروژن و هلیم در قطعات الکترونیکی

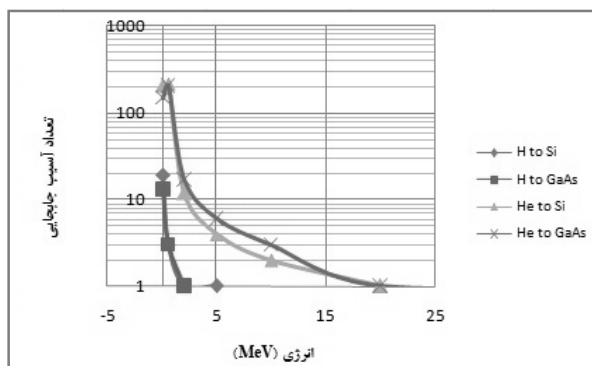
مقدار مجموع یونیزاسیون سیلیکون و گالیوم آرسنید برای پرتوی ورودی یون‌های هیدروژن و هلیم در شکل (۴) نشان داده شده است. مجموع یونیزاسیون بیشتر ناشی از یون‌هاست. بیشترین مقدار یونیزاسیون سیلیکون و گالیوم آرسنید برای پرتوی ورودی یون هیدروژن در ۵۰۰ کیلو الکترون ولت و برای پرتوی ورودی یون هلیم در ۲ مگا الکترون ولت است. یونیزاسیون پرتوی ورودی یون هلیم از هیدروژن بیشتر است در واقع در انرژی‌های پایین، یونیزاسیون هلیم ۳ برابر هیدروژن و در انرژی‌های بالاتر ۱۰ برابر هیدروژن می‌شود، که این مسئله بهدلیل سنگین‌بودن یون هلیم است که باعث برخورد بیشتری با اتم‌های هدف می‌شود.



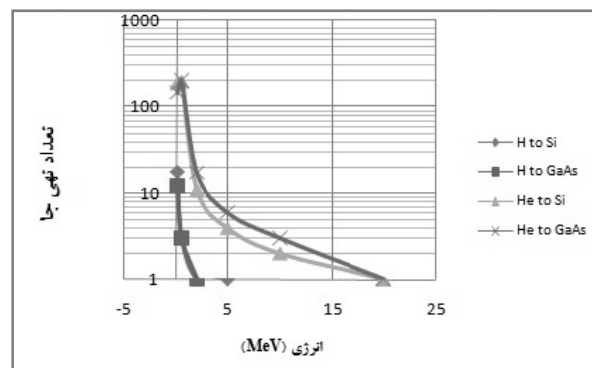
شکل ۴- مجموع یونیزاسیون ناشی از یون‌ها و پس‌زده شده‌ها، برای پرتوهای ورودی یون هیدروژن و هلیم در قطعات الکترونیکی

در مرحله دوم تهی جا و یونیزاسیون کل ناشی از یون و پس‌زده شده‌ها را روی قطعه الکترونیکی گالیوم آرسنید که به وسیله فلزات آلومینیوم،آلیاژ ۳۳۰ و تانتالیوم پتوکسید حفاظاسازی شده است، به صورت نمودارهایی از تعداد تهی جا و یونیزاسیون کل ناشی از یون‌ها و پس‌زده شده‌ها بر حسب ضخامت حفاظها آورده شده‌اند. در شکل‌های

هستند. بیشترین آسیب جایه‌جایی و تهی جا در پرتوی ورودی یون هیدروژن در ۱۰۰ کیلو الکترون ولت و در پرتوی ورودی یون هلیم در ۵۰۰ کیلو الکترون ولت است. از انرژی ۱۰۰ و ۵۰۰ کیلو الکترون ولت به بالا مقادیر تهی جا کاهش پیدا می‌کند تا برای قطعه سیلیکون در پرتوی ورودی یون هیدروژن در انرژی ۱۰ مگا الکترون ولت و در پرتوی ورودی یون هلیم در ۵۰ مگا الکترون ولت و برای قطعه گالیوم آرسنید در پرتوی ورودی یون هیدروژن در انرژی ۵ مگا الکترون ولت و در پرتوی ورودی یون هلیم در ۵۰ مگا الکترون ولت، تهی جا صفر می‌شود. در ۱۰۰ کیلو الکترون ولت آسیب جایه‌جایی و تهی جا در پرتوی ورودی یون هلیم ۱۰ برابر پرتوی ورودی یون هیدروژن، در ۵۰۰ کیلو الکترون ولت ۶۵ برابر، در ۲ مگا الکترون ولت ۱۱ برابر و در ۵ مگا الکترون ولت ۴ برابر است.



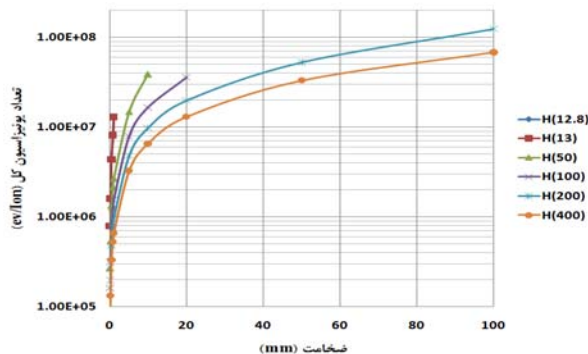
شکل ۱- آسیب جایه‌جایی ناشی از پرتوی ورودی یون هیدروژن و هلیم در قطعات الکترونیکی



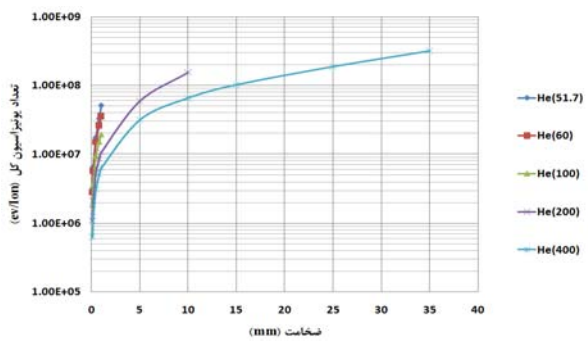
شکل ۲- تهی جا ناشی از پرتوی ورودی یون هیدروژن و هلیم در قطعات الکترونیکی

برخوردهای جایگزین در شکل (۳) برای قطعه الکترونیکی گالیوم آرسنید در پرتوی ورودی یون هیدروژن در تمام انرژی‌ها صفر است و در پرتوی ورودی یون هلیم از انرژی ۵۰۰ کیلو الکترون ولت به بالا صفر می‌شود. برای قطعه الکترونیکی سیلیکون در پرتوی ورودی یون هیدروژن فقط در ۱۰۰ کیلو

حفظ آلمینیوم و قطعه الکترونیکی گالیوم آرسنید ۱۵ برابر مقادیر یونیزاسیون کل ناشی از پرتو ورودی یون هیدروژن است.



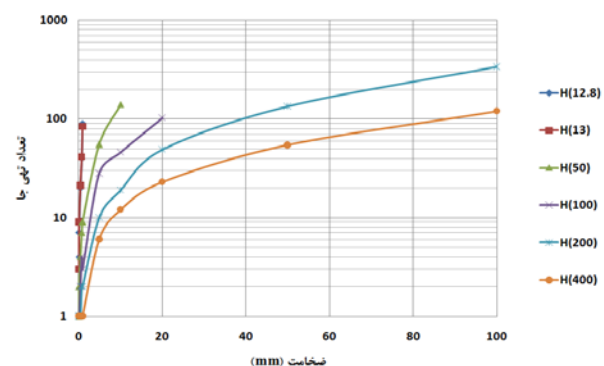
شکل ۷- یونیزاسیون کل ناشی از یون ها و پس زده شده های پرتو ورودی یون هیدروژن در حفاظ آلمینیوم و قطعه الکترونیکی گالیوم آرسنید



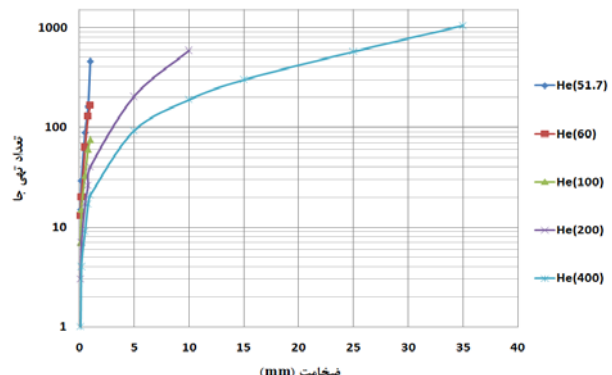
شکل ۸- یونیزاسیون کل ناشی از یون ها و پس زده شده های پرتو ورودی یون هلیم در حفاظ آلمینیوم و قطعه الکترونیکی گالیوم آرسنید

نمودار تهی جا ناشی از پرتوهای ورودی یون هیدروژن و هلیم در حفاظ تانتالیوم پنتوکسید و قطعه الکترونیکی گالیوم آرسنید بر حسب ضخامت حفاظ در شکل های (۹) و (۱۰) آورده شده است. در این نمودارها با افزایش انرژی پرتوهای ورودی یون های هیدروژن و هلیم و افزایش ضخامت حفاظ تانتالیوم پنتوکسید مقادیر تهی جا افزایش پیدا می کند، البته زمانی که پرتوی ورودی یون هیدروژن ۲۰۰ مگا الکترون ولت انرژی دارد و ضخامت حفاظ تانتالیوم پنتوکسید ۵۰ میلی متر است، بیشترین مقدار تهی جا را داریم. چراکه پرتوی ورودی یون هیدروژن می تواند تمام انرژی خود را در ضخامت ۵۰ میلی متری از حفاظ بگذارد و باعث به وجود آمدن برخورد بیشتر با اتم های حفاظ و جایه جا کردن آنها و عدم تعادل در شبکه، که نهایتاً منجر می شود تا تهی جای بیشتری به وجود آید. مقدار تهی جا در پرتوهای ورودی یون هلیم در حفاظ تانتالیوم پنتوکسید و قطعه الکترونیکی گالیوم آرسنید، از مقدار تهی جا در پرتوی ورودی یون هیدروژن بیشتر است، این مقدار در حدود ۲۰ برابر است.

(۵) و (۶) که مربوط به تهی جا ناشی از پرتوهای ورودی یون های هیدروژن و هلیم در حفاظ آلمینیوم و قطعه الکترونیکی گالیوم آرسنید است نشان داده شده که، تهی جا در پرتوی ورودی یون هلیم در حفاظ آلمینیوم و قطعه الکترونیکی گالیوم آرسنید مطابق با نمودار شکل (۶)، ۳۰ برابر پرتوی ورودی یون هیدروژن در حفاظ آلمینیوم و قطعه الکترونیکی گالیوم آرسنید مطابق با نمودار شکل (۵) است که این بیانگر بالابودن تهی جا در پرتو ورودی یون هلیم نسبت به پرتوی ورودی یون هیدروژن است. در نمودار شکل (۵) زمانی که پرتوی ورودی یون هیدروژن ۲۰۰ مگا الکترون ولت انرژی دارد در ضخامت ۱۰۰ میلی متر از آن بیشترین تهی جا را ناشی می شود، حتی این مقدار از زمانی که پرتوی ورودی یون هیدروژن ۴۰۰ مگا الکترون ولت انرژی دارد نیز بیشتر است، دلیل این مسئله آن است که در انرژی ۴۰۰ مگا الکترون ولت پرتوی ورودی یون هیدروژن نمی تواند تمام انرژی خود را در ضخامت ۱۰۰ میلی متر از حفاظ آلمینیوم بگذارد و از آن خارج می شود.

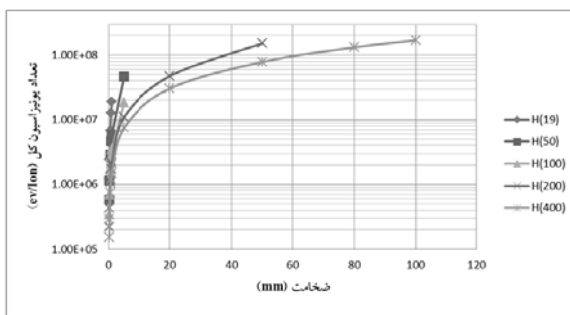


شکل ۵- تهی جا پرتو ورودی یون هیدروژن در حفاظ آلمینیوم و قطعه الکترونیکی گالیوم آرسنید

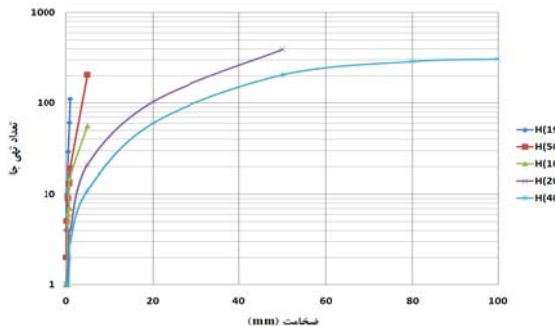


شکل ۶- تهی جا پرتو ورودی یون هلیم در حفاظ آلمینیوم و قطعه الکترونیکی گالیوم آرسنید

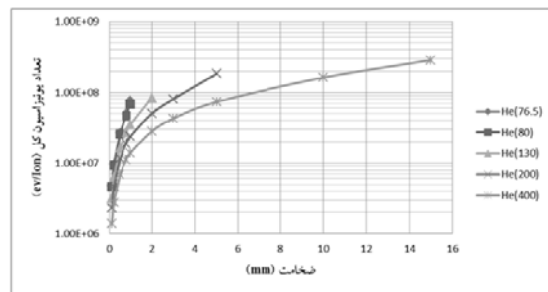
در شکل های (۷) و (۸)، یونیزاسیون کل ناشی از پرتوهای ورودی یون هیدروژن و هلیم در حفاظ آلمینیوم و قطعه الکترونیکی گالیوم آرسنید بر حسب ضخامت حفاظ نشان داده شده است. ملاحظه می شود که مقادیر یونیزاسیون کل ناشی از پرتو ورودی یون هلیم در



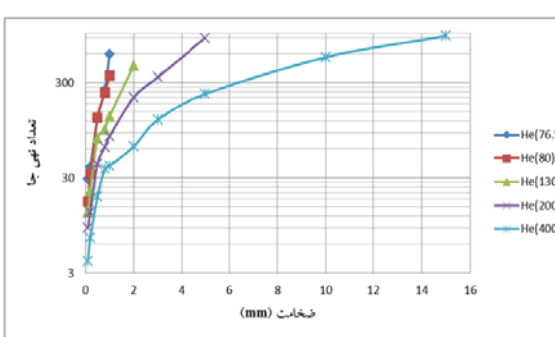
شکل ۱۱- یونیزاسیون کل ناشی از یون‌ها و پس‌زده‌دههای پرتو ورودی یون هیدروژن در حفاظ تانتالیوم پنتوکسید و قطعه الکترونیکی گالیوم آرسنید



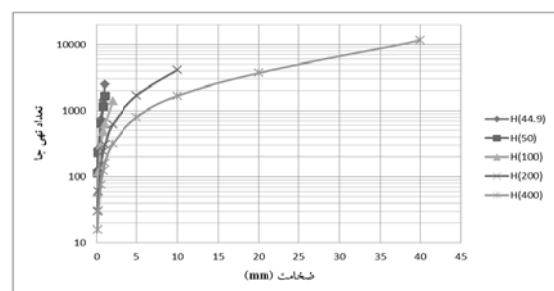
شکل ۹- تهی جا پرتو ورودی یون هیدروژن در حفاظ تانتالیوم پنتوکسید و قطعه الکترونیکی گالیوم آرسنید



شکل ۱۲- یونیزاسیون کل ناشی از یون‌ها و پس‌زده‌دههای پرتو ورودی یون هلیم در حفاظ تانتالیوم پنتوکسید و قطعه الکترونیکی گالیوم آرسنید



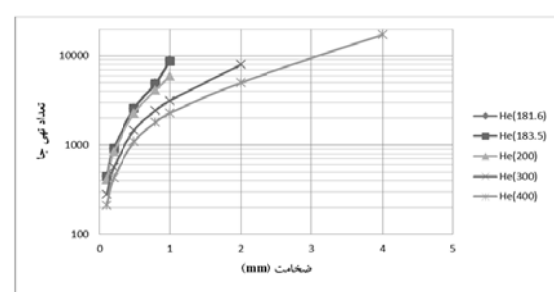
شکل ۱۰- تهی جا پرتو ورودی یون هلیم در حفاظ تانتالیوم پنتوکسید و قطعه الکترونیکی گالیوم آرسنید



شکل ۱۳- تهی جا پرتو ورودی یون هیدروژن در حفاظ آلیاز ۳۳۰ و قطعه الکترونیکی گالیوم آرسنید

در شکل‌های (۱۱) و (۱۲)، یونیزاسیون کل ناشی از پرتوهای ورودی یون هیدروژن و هلیم در حفاظ تانتالیوم پنتوکسید و قطعه الکترونیکی گالیوم آرسنید بر حسب ضخامت حفاظ نشان داده شده‌اند. در این نمودارها، با افزایش انرژی پرتوهای ورودی یون هیدروژن و هلیم و ضخامت حفاظ تانتالیوم پنتوکسید مقادیر یونیزاسیون کل نیز افزایش می‌یابد. مقادیر یونیزاسیون کل ناشی از پرتوی ورودی یون هلیم در حفاظ تانتالیوم پنتوکسید و قطعه الکترونیکی گالیوم آرسنید ۱۰ برابر یونیزاسیون کل ناشی از پرتوی ورودی یون هیدروژن است.

در شکل‌های (۱۳) و (۱۴)، تهی جاهای ناشی از پرتوهای ورودی یون‌های هیدروژن و هلیم در حفاظ آلیاز ۳۳۰ و قطعه الکترونیکی گالیوم آرسنید بر حسب ضخامت حفاظ نشان داده شده‌اند. در اینجا مانند حفاظهای قبل یعنی آلومنیوم و تانتالیوم پنتوکسید، تهی جا پرتوی ورودی یون هلیم در حفاظ آلیاز ۳۳۰ و قطعه الکترونیکی گالیوم آرسنید در حدود ۲۰ برابر بیشتر از تهی جا پرتو ورودی یون هیدروژن است.



شکل ۱۴- تهی جا پرتو ورودی یون هلیم در حفاظ آلیاز ۳۳۰ و قطعه الکترونیکی گالیوم آرسنید

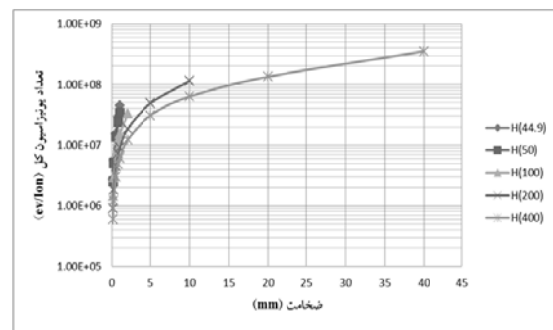
ورودی یون هلیم در حفاظ آلیاز ۳۳۰ در حدود ۱۵ برابر یونیزاسیون کل ناشی از پرتو ورودی یون هیدروژن است.

یونیزاسیون کل پرتوهای ورودی یون‌های هیدروژن و هلیم در حفاظ آلیاز ۳۳۰ و قطعه الکترونیکی گالیوم آرسنید در شکل‌های (۱۵) و (۱۶) نشان داده شده است. یونیزاسیون کل ناشی از پرتو

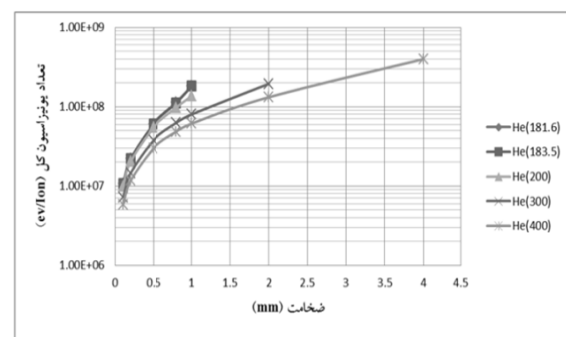
پتوکسید، ۲ برابر حفاظ آلمینیوم، حفاظ آلیاژ ۳۳۰، ۴ برابر حفاظ تانتالیوم پتوکسید و حفاظ آلیاژ ۳۳۰، ۹ برابر حفاظ آلمینیوم است. مقدار تهی جاهای به وجود آمده ناشی از یون های هلیم فرودی در قطعه الکترونیکی گالیوم آرسنید و حفاظ تانتالیوم پتوکسید ۳ برابر حفاظ آلمینیوم، حفاظ آلیاژ ۳۳۰، ۷۱ برابر حفاظ تانتالیوم پتوکسید و حفاظ آلیاژ ۳۳۰، ۱۵۸ برابر حفاظ آلمینیوم هستند. مقدار یونیزاسیون در قطعه الکترونیکی گالیوم آرسنید و حفاظ تانتالیوم یونیزاسیون پتوکسید و حفاظ آلمینیوم، حفاظ آلیاژ ۳۳۰، ۶ برابر حفاظ تانتالیوم پتوکسید ۲ برابر حفاظ آلمینیوم، حفاظ آلیاژ ۳۳۰، ۱۲ برابر حفاظ آلمینیوم است. همچنین محاسبات نشان می دهد، مقادیر آسیب در سیلیکون چه برای پرتوی ورودی یون هیدروژن و چه برای پرتوی ورودی یون هلیم کمتر از مقادیر آسیب در گالیوم آرسنید است. حفاظ آلمینیومی بهترین حفاظ در میان فلزات بررسی شده برای کم کردن مقدار آسیب های یونیزاسیون و جابه جایی است. مقدار بهینه این حفاظها را می توان با لحاظ کردن مقدار بار بحرانی برای ایجاد خطأ در قطعه الکترونیکی به دست آورد. همچنین هر چه حفاظها ضخامت بیشتر و از تعداد عناصر بیشتر با عدد اتمی بالا باشد، مقاومت آن در برابر پرتوهای تالشی بیشتر است و آسیب های به وجود آمده در قطعات الکترونیکی کمتر خواهد بود. آسیب های حاصل از پرتو ورودی یون هلیم بسیار بیشتر از پرتو ورودی یون هیدروژن است.

مراجع

- [1] Holmes-Edle, A. G., *Handbook of Radiation Effect*, 2nd Edition, Oxford University Press, USA, 2002.
- [2] Leroy, C. and Rancoita, P. G., "Particle Interaction and Displacement Damage in Silicon Devices Operated in Radiation Environments," *Report on Progress Physics*, Vol. 70, No. 493, 2007, pp. 493–625.
- [3] Messenger, G. and Ash, M., *The Effects of Radiation on Electronic Systems*, Second Edition, Van Nostrand Reinhold, New-York, 1992
- [4] Jun, I., "Effects of Secondary Particles on Total Dose and the Displacement Damage in Space Proton Environments," *IEEE Transactions on Nuclear Science*, Vol. 48, No. 1, 2001, pp. 162-175.
- [5] Johnston, A. H., "Radiation Damage of Electronic and Optoelectronic Devices in Space," *4th International Workshop on Radiation Effects on Semiconductor Devices for Space Application*, Tsukuba, Japan, 2000.
- [6] ESA Standard, Division Space Engineering, *Methods for The Calculation of Radiation Received and Its Effects, and a Policy for Design Margins*. Space Engineering, ECSS-E-10-12 Draft 0.11. 30, 2008.
- [7] Messenger, G. C., "A Summary Review of Displacement Damage from High Energy Radiation in Silicon Semiconductors and Semiconductor Devices," *IEEE Transactions on Nuclear Science*, Vol. 39, No. 3, 1992, pp. 468-473.
- [8] Ziegler, J. F., *The Stopping and Ranges of Ions in Matter ("SRIM-2011")*, Computer Software Package, <http://www.SRIM.org>.



شکل ۱۵- یونیزاسیون کل ناشی از یون ها و پس زده شده های پرتو ورودی یون هیدروژن در حفاظ آلیاژ ۳۳۰ و قطعه الکترونیکی گالیوم آرسنید



شکل ۱۶- یونیزاسیون کل ناشی از یون ها و پس زده شده های پرتو ورودی یون هلیم در حفاظ آلیاژ ۳۳۰ و قطعه الکترونیکی گالیوم آرسنید

نتیجه گیری

در مرحله اول این کار آسیب های پرتویی برای قطعات نیمه هادی الکترونیکی شامل سیلیکون و گالیوم آرسنید با استفاده از نرم افزار ترابرد پرتویی TRIM محاسبه و تحلیل شده است. پرتوهای ورودی شامل یون های هیدروژن و هلیم هستند که بیشترین درصد پرتوهای خورشیدی را با انرژی های مختلف که از ۱۰۰ کیلو الکترون ولت تا ۴۰۰ مگا الکترون ولت است، تشکیل می دهند. در مرحله دوم این کار آسیب های پرتویی برای یکی از پر کاربرد ترین مواد قطعات الکترونیکی یعنی گالیوم آرسنید که توسط فلزاتی همچون آلمینیوم، آلیاژ ۳۳۰، تانتالیوم پتوکسید حفاظ شده است، با استفاده از نرم افزار ترابرد پرتویی TRIM محاسبه و تحلیل شده است. ضخامت قطعات الکترونیکی، ۲ میکرومتر ثابت است و ضخامت حفاظها از ۱۰۰ میکرومتر تا ۳۰۰ میلی متر تعییر بیدا می کند.

محاسبات نشان می دهد که مقدار تهی جاهای به وجود آمده ناشی از یون های هیدروژن فرودی در قطعه الکترونیکی گالیوم آرسنید و حفاظ تانتالیوم پتوکسید ۲ برابر حفاظ آلمینیوم، حفاظ آلیاژ ۷۶، ۳۳۰ برابر حفاظ تانتالیوم پتوکسید و حفاظ آلیاژ ۳۳۰، ۱۵۲ برابر حفاظ آلمینیوم هستند. مقدار یونیزاسیون در قطعه الکترونیکی گالیوم آرسنید و حفاظ تانتالیوم